

改进的整周模糊度搜索算法

宋福成¹, 杨 汀¹, 陈宜金¹, 时爽爽²

(1. 中国矿业大学(北京), 北京 100083; 2. 武汉大学, 武汉 430079)

摘要: 针对现有模糊度搜索方法仍不能很好地满足快速定位需求的问题, 该文在简要介绍解决最近向量问题的搜索算法基础上, 将 M-VB 搜索算法引入到模糊度的解算中, 并对其作了两方面改进。一是优化了该算法执行过程中更新上界的问题, 二是提出借助序贯最小二乘平差(Bootstrapped)估计值来确定其搜索空间半径的方法。基于仿真数据和实测 GPS 数据, 分别在降相关和不降相关条件下, 将上述改进方法与最小二乘降相关平差(LAMBDA)方法及其修正方法(MLAMBDA)作了对比分析。结果表明, 改进的 M-VB 算法比其他 2 种方法能更快地固定整数向量, 有效地提高了模糊度搜索效率。

关键词: 全球导航卫星系统; 模糊度估计; 最近向量问题; LAMBDA; MLAMBDA; M-VB

【中图分类号】P228.4

【文献标识码】A

【文章编号】1009-2307(2015)10-0016-05

DOI: 10.16251/j.cnki.1009-2307.2015.10.003

0 引言

全球卫星导航系统(Global Navigation Satellite Systems, GNSS), 包括美国的 GPS、俄国的 GLONASS、中国的北斗、欧盟的 Galileo 及一些增强系统, 已广泛地应用在大地上测量、航空航天、地壳地震监测、海洋、农业等各个领域^[1]。而正确的固定载波相位整周模糊度是实现 GNSS 定位、导航等应用的关键。近 30 年来, 研究人员提出了许多方法来解决此问题。最简单的方法就是对求得的模糊度浮点解直接取整, 由于模糊度间的相关性, 此种方法效果较差, 模糊度固定成功率不高。另外一种方法是利用序贯最小二乘平差法, 也被称为 bootstrapping 方法, 其思想是在前面模糊度取整固定的条件下, 对余下的其他浮点解进行最小二乘平差改正, 然后对改正后的值取整^[2]。整数最小二乘方法被认为是解算模糊度问题的最严密的一种方法, 其固定成功率较高。这类方法中最有代表性的是最小二乘降相关平差(Least-square Ambiguity Decorrelation Adjustment,

LAMBDA)方法^[3-4]和其修正方法(MLAMBDA)^[5]。LAMBDA 方法被认为是目前最有效的方法之一, 但其需要一个搜索过程, 搜索效率的高低直接影响着整周模糊度的解算效率。

格是 R^n 中一类具有周期性结构离散点的集合^[6]。格中的最近向量问题(Closest Vector Problem, CVP)是指给定任意一个目标向量, 找一个格上的非零向量, 使得这两向量之间距离最短。解决最近向量问题的精确方法是 Pohst 和 Fincke^[7-8]提出的枚举算法, 在通信领域中也称为球形解码算法。该方法是通过设置初始半径将搜索空间确定在有限的超椭圆中, 从而有效地提高了搜索效率。Kannan^[9]提出了类似的枚举算法, 但搜索空间是在长方体中。Viterbo 和 Biglieri^[10-11]将 Pohst 枚举算法引入到通信领域, 提出了动态收缩半径的搜索方法, 称为 VB 算法。Damen 等^[12]基于 VB 算法, 提出了 M-VB 算法, 通过更新收缩区间上界, 避免了重复搜索一些分支, 取得较好的效果。刘经南等^[13]指出模糊度解算与格论中的最近向量问题有着紧密的联系, 并将模糊度解算中的主要降相关方法统一到了格论框架下。范龙等基于格论设计了分块正交化的降相关算法^[14], 也很好解决了模糊度解算中的降相关问题。实际上, 格论中解决最近向量问题的搜索算法也适用于模糊度的搜索。现常用的 LAMBDA 方法中的搜索方法就是根据 Pohst 算法改进而来的。

随着四大卫星导航系统的逐步建设和现代化, 以及地基增强系统的建立和完善, 未来可用于定



作者简介: 宋福成(1986—), 男, 山东临沂人, 博士研究生, 从事 GNSS 定位方法、数据处理及应用研究。
E-mail: songfucheng123@163.com

收稿日期: 2015-02-03

基金项目: 中央高校基本科研业务费项目(2010YD06)

位的卫星在逐步增多,这也导致了模糊度参数的数量增加。在解决高维模糊度参数时,目前方法的执行效率仍然不高。同时,高精度实时定位需要快速地确定整周模糊度。因此,本文在简单介绍格论中搜索算法的基础上,对 M-VB 搜索算法进行优化改进,并将其引入到模糊度解算中;然后基于仿真数据和 GPS 实测数据,将该算法与两种经典算法进行比较分析。

1 模糊度搜索及 M-VB 算法

1.1 整数模糊度估计与最近向量问题

一般 GNSS 整周模糊度的最小二乘问题,都可表示为^[15]:

$$\bar{a} = \min_{a \in Z^n} (a - \hat{a})^T Q_a^{-1} (a - \hat{a}) \quad (1)$$

其中, a 表示整周模糊度向量, \hat{a} 和 \bar{a} 分别表示其浮点解和整数解; Q_a^{-1} 为浮点解 \hat{a} 的方差-协方差 Q_a 的逆矩阵。由于 Q_a 是正定的,所以 Q_a^{-1} 也是正定的。而 Q_a^{-1} 的 Cholesky 分解可表示为:

$$Q_a^{-1} = R^T R \quad (2)$$

因此有:

$$(a - \hat{a})^T Q_a^{-1} (a - \hat{a}) = (a - \hat{a})^T R^T R (a - \hat{a}) = (Ra - R\hat{a})^T (Ra - R\hat{a}) \quad (3)$$

令 $y = R\hat{a}$, 那么式(1)可表示为:

$$\begin{aligned} \bar{a} &= \min_{a \in Z^n} (Ra - R\hat{a})^T (Ra - R\hat{a}) = \\ &= \min_{a \in Z^n} (Ra - y)^T (Ra - y) = \\ &= \min_{a \in Z^n} \|y - Ra\|^2 \end{aligned} \quad (4)$$

因为矩阵 R 的列向量 r_1, r_2, \dots, r_n 线性无关,由格理论知,其可作为格的一组基,生成的 n 维格为:

$$\Lambda(R) = \{Ra \mid a \in Z^n\} \quad (5)$$

所以式(4)就是在生成的 n 维格中,寻找一个格点,使得其与给定的一点 y 最近,即格上的最近向量问题。因此,上述的整数最小二乘估计与格上的 CVP 是等价的。

1.2 M-VB 算法

针对格中最短向量问题,数论学家 Pohst 提出了著名的枚举算法。众多学者对其优化改进,提出了不同的变种算法,在最短向量和最近向量问题中取得很好的应用。其中, Damen 等提出的 M-VB 算法就是基于 Pohst 和 VB 算法改进而来的。M-VB 算法按维数分为 n 层,输入值为半径平方 d_c , 给定点 y , 矩阵 R ; 输出最优格点 \hat{x} 。M-VB 算法从第 n 层开始,向第一层逐层搜索,并计算出每一层候选值的上界和下界。当搜索到第一层时,表明已经获得了一个候选格点,保存该格点并计

算其与给定点 y 的几何二次型。若该值小于初始给定的搜索半径,则使用该值改正其他所有层的上界,并继续进行搜索,且此时从第一层向第 n 层搜索。当重新搜索到 n 层时,整个搜索过程结束,保存此时的候选值向量 \hat{x} 和其与给定点 y 的几何二次型值 \hat{d} 。M-VB 算法的具体搜索过程如图 1 所示。

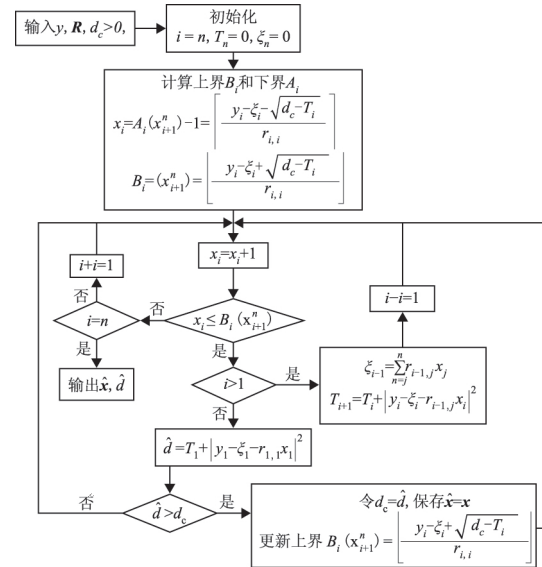


图 1 M-VB 算法流程图

Fig 1 Flowchart of the M-VB Algorithm

2 改进的 M-VB 算法

2.1 算法优化

M-VB 算法比 Pohst 算法及 VB 算法有了较大提升,但此算法仍有改进空间。当搜索到第一层获得一个新的格点后,会更新所有上界。从图 1 可以看出,如果当程序再一次循环到第一层,并且在这个过程中遍历到达的最高层为 $i < n$,那么在这个过程更新全部上界后,对于上一次更新的上界中 $l = i + 1, \dots, n$ 的 $B_l(x_{l+1}^n)$ 将不再使用。由于在对 R 预处理过程中进行了降序排列,程序在低层来回搜索的概率较大,因此上述情况在整个 M-VB 算法执行中会出现多次,从而致使不必要的计算,降低算法效率。因此,为提高效率,在获得一个新的格点后,只更新上界 $B_1(x_1^n)$,并令 $s = 1$;同时,在算法的 $i = n$ 处修改为:如果 $i = n$,终止程序,输出,否则, $i = i + 1$,并且如果 $i > s$,那么计算 $B_i(x_{i+1}^n)$, $s = i$,然后转至 $x_i = x_i + 1$ 。经过上述改进后,只有在遍历到 i 层,且需用到其上界时,才进行更新,这样避免了多余计算,因而可提高执行效率。

2.2 确定搜索半径

在 M-VB 算法中,为提高搜索效率,选择合

适的半径初始值是非常重要的。半径初始值选择得过小,致使在确定的搜索空间中无整数点;半径初始值选择得过大,致使包含在搜索空间内的整数点较多,从而增多枚举次数,降低搜索效率。bootstrapped 估计值是模糊度的序贯最小二乘估计值,经过降相关处理后,其固定成功率相对较高,在一些文献中常作为最小二乘估计成功率的下界^[16]。因此,可考虑将 bootstrapped 估值到浮点解的距离作为搜索空间的半径,这种方法至少保证获得一组解。但实验发现,以上述方法确定的搜索空间包含的整数点个数往往大于 1,从而增加了搜索时间。为探索 bootstrapped 估值与最佳估值到给定点的欧氏距离之间的关系,进行如下实验。根据文献 [5],通过下式构造仿真数据

$$\hat{a} = 100 \times \text{randn}(n, 1)$$

$$\mathbf{Q}_a = \mathbf{A}^T \mathbf{A}, \mathbf{A} = \text{randn}(n, n) \quad (6)$$

其中, $\text{randn}(i, j)$ 是 MATLAB 中可生成一个 $i \times j$ 向量或矩阵的函数,且其内元素服从正态分布。通过式(6)生成 5 到 40 维的实验数据,且每一维构造 1 000 组数据。利用 MLAMBDA 方法,分别计算每一维中 1 000 组数据的 d_B 和 d_L 的平均值,其中 d_B 和 d_L 分别表示 bootstrapped 估值与最佳估值到给定点的欧氏距离的平方。统计结果如图 2 所示。

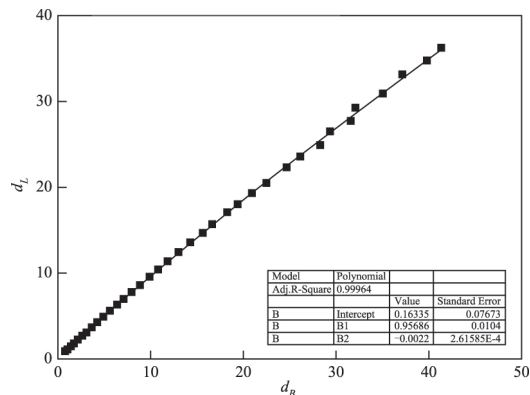


图 2 d_B 和 d_L 之间的关系

Fig 2 Relations between d_B and d_L

由图 2 可知, d_B 和 d_L 之间呈近似线性关系。为更严密,采用二次多项式方法拟合,拟合公式如下

$$d_L = -0.0022 \times d_B^2 + 0.95686 \times d_B + 0.16335 \quad (7)$$

因此,选择搜索空间的半径平方初始值为

$$d_c = \min(d_B, d_L) \quad (8)$$

并且,如果 \hat{a} 结果输出为 0,说明 d_c 过小,其确定的搜索空间中不包含整数点,那么令 $d_c = 1.2d_c$,重新迭代执行,直至 \hat{a} 输出值大于 0,即得到最佳估值。

3 实验及分析

3.1 仿真分析

本文将改进的 M-VB 方法与现在流行的 LAMBDA 方法和 MLAMBDA 方法进行比较分析。实验环境为:惠普电脑(2.0GHz,内存 3.0GB,Windows 7 系统),MATLAB 7.10.0(R2010a)。实验数据仍由式(6)构造。同时在 LAMBDA 方法和 MLAMBDA 方法中设置期望候选值为 1。

为了分别分析第三部分中两点的改进性能,将优化后的 M-VB 算法称为 M-VB1,用式(7)、式(8)确定搜索半径的 M-VB 算法称为 M-VB2,二者的结合方法称为 M-VB3。由式(6)生成 5~40 维的仿真数据,每一维构造 100 组数据。为提高效率,在执行上述搜索方法之前,对数据都进行了相同的预处理,即统一用 LAMBDA 方法中的降相关策略处理。分别采用上述 3 种方法及 LAMBDA 方法、MLAMBDA 方法计算每一维中 100 组数据的平均搜索时间,其中 M-BV1 算法和 M-VB2 算法的搜索半径由 bootstrapping 方法获得,实验结果如图 3 所示。

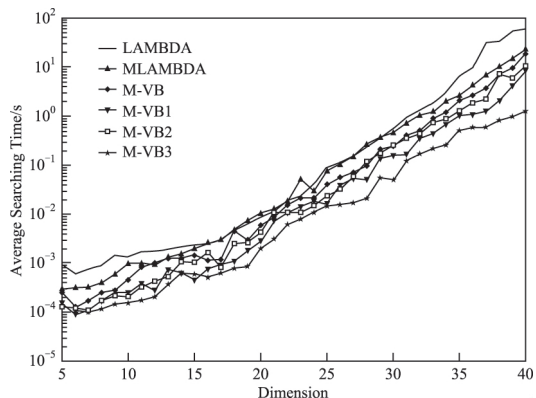


图 3 不同算法在降相关条件下独立运行 100 次的平均搜索时间

Fig 3 Average Searching Time of Different Algorithms over 100 Independent Runs with Decorrelation

由图 3 知, M-VB 算法比 LAMBDA、MLAMBDA 方法搜索速度快,分别平均快 4.4 倍和 1.5 倍,在高维情形尤其明显。M-VB1 也表现出类似的情况。但 M-VB1 算法比 M-VB 算法平均快 2.3 倍,说明对 M-VB 算法中的上界更新方式改进后,其执行效率有所提升。而对比 M-VB2 和 M-VB 发现, M-VB2 比 M-VB 执行效率也要高,平均快 1.5 倍,但有时出现 M-VB2 比 M-VB 用时长的情形,这可能是由于初始半径的取值过小,致使第一次没有获得有效值,然后增加半径重新搜索,从而增加了耗时。两种改进方法的结合 M-VB3 算法在所有

方法中执行效率是最高的, 平均比 LAMBDA、MLAMBDA 和 M-VB 方法分别快 36 倍、11.7 倍和 8.2 倍。在高维中, M-VB3 方法的执行效果更好, 比 LAMBDA 方法快 50~60 倍。

为了进一步分析不同算法的执行效率, 在上述实验中统计了每种算法运行过程中计算的有效整数点个数。统计结果如图 4 所示。图 4 反映出本文的改进方法在搜索中比 LAMBDA、MLAMBDA 方法平均获得的有效点数少, 基本在 1 到 2 个。LAMBDA 方法是所有方法中获得整数点数最多的, 说明此方法至少完整地遍历了全部整数点, 从而增加了耗时。

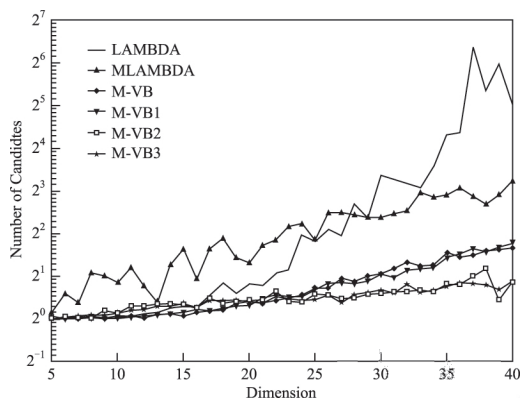


图 4 不同算法在不同维数下独立运行 100 次搜索的整数点个数

Fig. 4 Average Number of Candidates of Different Algorithms over 100 Independent Runs per Dimension

降相关对搜索效率有重要的影响, 这种处理策略在格理论中也被称为格基规约。上述实验之前都进行了降相关处理。为了研究几种搜索算法在无降相关条件下的性能, 重复上述实验过程, 但对构造的原始数据不作预处理。由于没有进行降相关处理, 在 30 维以上的搜索时间较长, 因此只对 5~30 维的数据进行实验。结果如图 5 所示。图 5 反映出, 在无降相关条件下, 这几种算法的搜索时间都有明显增加。LAMBDA 方法的搜索效率明显低于其他方法, 在 30 维时, 平均用时近 88s。改进的 M-VB 方法比 LAMBDA、MLAMBDA 方法搜索速度快, 但没有在降相关条件下提高得明显。

3.2 实例验证

为进一步验证 M-VB3 算法的有效性和正确性, 采用上述几种方法对实测 GNSS 数据进行了实验。选取河南某 GPS 四等网中的一条基线, 其观测时间约为 55min, 采样间隔为 15s, 剔除不良观测数据后, 基线的总观测历元数为 212。分别以单频和双频两种模式对其处理(分别用 A1 和 A2 表示), 根据最小二乘法求得每个历元的模糊度浮点解和其方

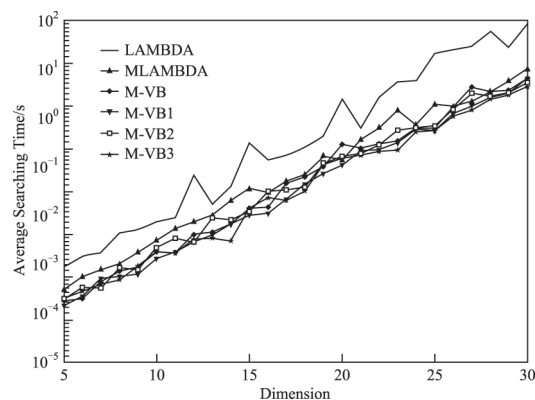


图 5 不同算法在不降相关条件下独立运行 100 次的平均搜索时间

Fig. 5 Average Searching Time of Different Algorithms over 100 Independent Runs Without Decorrelation

差-协方差矩阵。分别采用上述几种算法固定模糊度, 统计它们的平均搜索时间。同时, 以上述类似方式, 分别处理该 GPS 网中的 10 条基线, 固定双频模式下的模糊度, 计算 4 种方法的平均搜索时间, 用 A3 表示。另外, 对新疆天池地区一条基线进行处理, 其观测时间为 60 min, 采样间隔为 1s, 处理的总历元数为 3 560, GPS 单频和双频模式分别用 B1 和 B2 表示; B3 表示利用 GPS 和 GLONASS 观测数据一起处理。本文分别在降相关和无降相关条件下进行了上述过程, 实验结果如表 1 所示。

表 1 不同算法下模糊度平均搜索时间

Tab. 1 Average Searching Time of Different Algorithms for GNSS Real Data

	LAMBDA	MLAMBDA	M-VB	M-VB3
A1	0.0035	—	0.00032 0.0439	0.00019 6.6883
A2	165.8195	—	0.0032 1.2758	0.0067 10.3054
A3	—	—	0.0068 0.3542	0.0059 25.4056
B1	0.0063	370.7867	0.00021 0.0009	0.00012 0.0083
B2	0.0044	—	0.0012 0.0982	0.0006 3.1120
B3	—	—	0.2646 13.0426	0.1037 —

表 1 中的横线表示搜索过程中, 有的历元搜索时间超过 30min 或大于 1h 仍未固定, 所以未予统计; 表 1 中各方法下的第一列数据表示在降相关条件下的搜索时间, 第二列数据表示在无降相关条件下的搜索时间。从表 1 可看出, 随着观测频率的增加, 4 种方法的搜索时间都相应增加; 4 种方法在降相关条件下的搜索性能更优。其中, LAMBDA 方法的搜索效率最低, 且搜索时间较不稳定。在降相关条件下, M-VB 方法与 MLAMBDA 方法的搜索效率相当; 但在无降相关条件下, M-VB 方法的搜索时间要大于 MLAMBDA 方法的搜索时间, 且有时较长时间不能固定模糊度。M-VB3 方

法在降相关和无降相关条件下都表现出较好的搜索效率,并且随着组合系统定位和观测频率的增加,M-VB3 方法的搜索性能较其他方法更为显著。

4 结束语

模糊度估计是导航定位数据处理中关键的一项内容。本文简单介绍了模糊度解算与格中最近向量问题的一致性,然后描述了格中 M-VB 搜索算法的基本步骤。以此为基础,提出了改进的 M-VB 算法。基于仿真和实测数据,从搜索时间上分析了改进的 M-VB 算法的性能,其执行效率比目前的 LAMBDA 和 MLAMBDA 方法要高。因此,改进的 M-VB 方法可应用于快速的模糊解算中。

模糊度的解算包括模糊度估计和模糊度确认两部分,为了模糊度确认,一般需要 2 个或 2 个以上的候选值,所以有必要进一步研究该算法在获取多个候选值时的性能。

参考文献

- [1] 宁津生,王正涛. 2012-2013 年测绘学科发展综合报告[J]. 测绘科学,2014(2):3-10.
- [2] TEUNISSEN P J G. Success Probability of Integer GPS Ambiguity Rounding and Bootstrapping[J]. Journal of Geodesy,1998,72(10):606-612.
- [3] TEUNISSEN P J G. Least-squares Estimation of the Integer GPS Ambiguities[C]//Invited Lecture, Section IV Theory and Methodology, IAG General Meeting, Beijing, China, 1993.
- [4] TEUNISSEN P J G. The Least-squares Ambiguity Decorrelation Adjustment: a Method for Fast GPS Integer Ambiguity Estimation[J]. Journal of Geodesy,1995,70(1/2):65-82.
- [5] CHANG X W, YANG X, ZHOU T. MLAMBDA: a Modified LAMBDA Method for Integer Least-squares Estimation[J]. Journal of Geodesy,2005,79(9):552-565.
- [6] 王小云,刘明洁. 格密码学研究[J]. 密码学报,2014(1):13-27.
- [7] POHST M. On the Computation of Lattice Vectors of Minimal Length, Successive Minima and Reduced Bases with Applications[J]. ACM Sigsum Bulletin,1981,15(1):37-44.
- [8] POHST F U. Improved Methods for Calculating Vectors of Short Length in a Lattice, Including a Complexity Analysis [J]. Mathematics of computation, 1985,44(170):463-471.
- [9] KANNAN R. Improved Algorithms for Integer Programming and Related Lattice Problems[C]//Proceedings of the Fifteenth Annual ACM Symposium on Theory of Computing, ACM,1983:193-206.
- [10] VITERBO E, BIGLIERI E. A Universal Decoding Algorithm for Lattice Codes[C]//14th Colloque sur le traitement du signal et des images, FRA, 1993. GRETSI, Groupe d'Etudes du Traitement du Signal et des Images, 1993.
- [11] VITERBO E, BOUTROS J. A Universal Lattice Code Decoder for Fading Channels[C]//IEEE Transactions on Information Theory,1999,45(5):1639-1642.
- [12] DAMEN M O, EI GAMAL H, CAIRE G. On Maximum-likelihood Detection and the Search for the Closest Lattice Point[C]//IEEE Transactions on Information Theory,2003,49(10):2389-2402.
- [13] 刘经南,于兴旺,张小红. 基于格论的 GNSS 模糊度解算[J]. 测绘学报,2012(5):636-645.
- [14] 范龙,翟国君,柴洪洲. 模糊度降相关的整数分块正交化算法[J]. 测绘学报,2014(8):818-826.
- [15] JAZAERI S, AMIRI-SIMKOOEI A R, SHARIFI M A. Fast Integer Least-squares Estimation for GNSS High-dimensional Ambiguity Resolution Using Lattice Theory[J]. Journal of Geodesy,2012,86(2):123-136.
- [16] TEUNISSEN P J G. GNSS Ambiguity Bootstrapping: Theory and Application[C]//Proceedings of International Symposium on Kinematic Systems in Geodesy, Geomatics and Navigation,2001:246-254.

An improved method for searching integer ambiguity

Abstract: According to the fact that the current methods for ambiguity estimation do not meet with the demand of fast positioning, M-VB method was introduced for ambiguity estimation after presentation of searching methods for closest vector problem (CVP). Then, M-VB method was improved from two points. One was optimizing the method with updating the upper bounds, and the other was determining the radius with bootstrapped estimator. The improved M-VB method was compared to LAMBDA and MLAMBDA methods based on simulated and real GPS data on the condition of with and without decorrelation. The results indicated that the M-VB method could fix integers faster than LAMBDA and MLAMBDA methods, and the searching efficiency was improved.

Key words: GNSS; ambiguity estimation; closest vector problem; LAMBDA; MLAMBDA; M-VB
 SONG Fu-cheng¹, YANG Ting¹, CHEN Yi-jin¹, SHI Shuang-shuang² (1. China University of Mining and Technology (Beijing), Beijing 100083, China; 2. Wuhan University, Wuhan 430079, China)